

## 両振載荷を受けるスタッドの挙動について

横南大学工学部	正員〇	平城弘一
日本スタッドウェルディング		菜好二
大阪工業大学		栗田光
大阪工業大学	正員	飼尾光
大阪工業大学	正員	赤親

## 1. まえがき

本研究の目的は、鋼とコンクリートの各種合成構造（SRC構造を含む）において、重要な課題である合成機構を解明するための基礎データを得ることにある。各種合成構造のずれ止めとしてスタッドを用いた場合、従来の合成桁のように、常にスタッドが上フランジ上面に取付けられるとは限らず、スタッドの取付位置およびその方向は種々存在するであろう。また、せん断方向を一方向だけとは限らない。したがって、各種合成構造に応用されるスタッドの耐力を決定する際は、コンクリートの打ち込み方向、すなわちスタッドの周辺のコンクリートの性状とせん断方向を明確にしておく必要がある。

本文は、押抜供試体によるスタッドの両振疲労試験に先だして実施した静的試験より、コンクリートの打ち込み方向と載荷方向がスタッドの静的耐荷挙動に及ぼす影響を明らかにするものである。なお、すでに著者らが提案している設計式の妥当性についても検討した。

## 2. 供試体の種類と試験方法

本研究では、代表的なコンクリートの打ち込み方向を図1.に示すように4種類選んだ。コンクリートは、レミコンを用い、品質・材令を均一にするため、図1.に示すようにA, BタイプのH形鋼腹部を切断し一度に打設した。

載荷方向は、両振疲労試験に関連させ、図2.に示すように2種類とした。供試体数は2つのテストにおける4タイプとともに2体ずつ総計16体である。

スタッド素材は平均降伏点強度 $27.5 \text{ kg/mm}^2$ のものを用いた。使用したスタッドの寸法は直径が $13 \text{ mm}$ で、長さが $65 \text{ mm}$  ( $H/d = 5.0$ )である。コンクリートの配合は粗骨材最大寸法 $15 \text{ mm}$ ,  $W/C = 51\%$ のものを用い、平均圧縮強度は $35 \text{ kg/cm}^2$ となった。

試験は $50 \text{ ton}$ 万能試験機を行った。載荷方法は静的反復法とした。コンクリートとHirokazu HIRAGI, Eiji MIYOSHI, Akimitsu KURITA, Mitsuo UGAI, Shinsuke AKAO

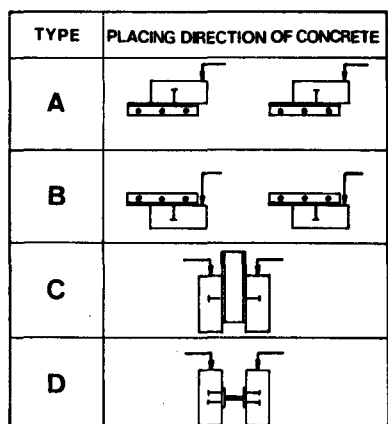


図1. コンクリートの打設方向

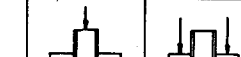
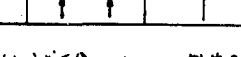
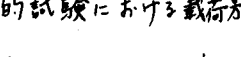
TEST	1	2
LOADING		
DIRECTION		

図2. 静的試験における載荷方向

形鋼のすれは、ダイヤルゲージ( $\frac{1}{1000}$ )を用い、2丁所で計測した。

### 3. 試験結果および考察

作用荷重/破壊荷重と相対・残留すれの関係を図3に示す。これらより明らかかのように、Cタイプの相対・残留すれは、テスト1のみ載荷の初期からかなり大きく現われた。また、Cタイプ以外につりては載荷方向の達1による差が生じなかった。

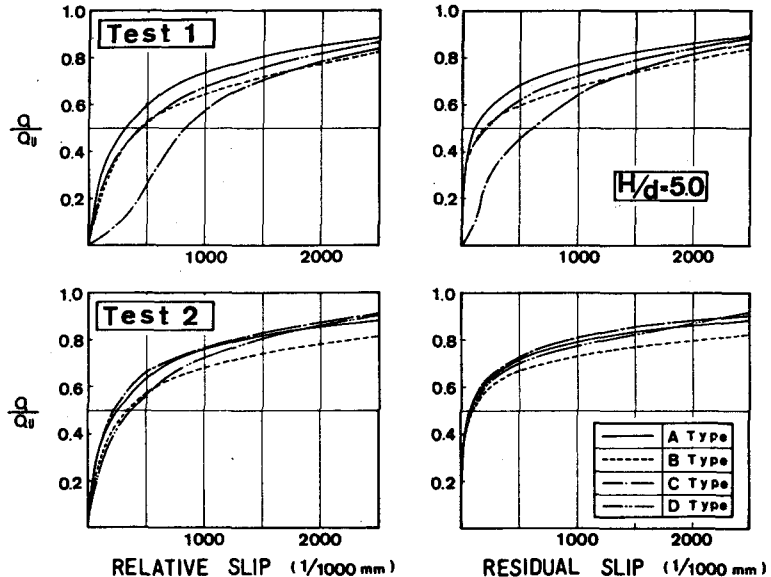


図3. 作用荷重/破壊荷重と相対・残留すれとの関係

表1にスタッド1本当りの破壊荷重および限界荷重(残留すれが $0.075\text{mm}$ 生じた時の荷重)の測定値と著者らが提案した式によく設計値およびAASHTO, 日本の示方書に規定された $H/d$ の範囲で、4タイプを含め供試体総数40体より得られた結果に基づいてある。これより、破壊荷重に対しては提案値が最もよく一致していることにより、提案式の妥当性が確認された。限界荷重に対しては、残留すれを基準としているため、テスト1のCタイプのサ極端に低い値を示した。また、許容応力値設計における、Cタイプに対して提案した許容せん断力の安全率は3.5であった。

### 4. あとがき

本試験結果を要約すると、次のようになる。(1) テスト1のCタイプのみ、スタッドの支圧面に対するブリーゼンジングの悪影響が現われた。(2) 終局耐力につりては、表1で明らかかのように、提案式で求めた値とよく一致を示す。

現在進行中の疲労試験結果につりては、講演当日に申し述べたい。本研究に際し、大阪工業大学および福岡大学の両学部卒研究生に協力を得たことを記して、謝意を表します。

参考文献 \*1) 平城他：「SRC構造に使用されるスタッドの一設計式(続)」土木学会関西支部, I-19, 1981。

表1. 提案値・設計値と測定値との比較

Test	Type	Ultimate Q Load (t)	$Q/Q_p$	$Q/Q_k$	$Q/Q_i$	Critical Q Load (t)	$Q_c/Q_i$
1	A	6.43	1.02	0.94	7.38	2.94	3.38
	B	5.70	0.90	0.84	6.54	2.28	2.62
	C	6.05	0.96	0.89	6.95	0.42	0.48
	D	6.20	0.98	0.91	7.12	2.37	2.72
2	A	5.90	0.93	0.87	6.77	3.10	3.56
	B	5.58	0.88	0.82	6.41	2.84	3.26
	C	5.88	0.93	0.86	6.75	3.03	3.48
	D	6.08	0.96	0.89	6.98	2.58	2.96
Design Value (t)		6.33	6.81	0.871			0.871

$Q_p$ : The Proposed Value by Authors

$Q_k$ : Design Value by The AASHTO Spec. 12th ed. (1977)

$Q_i$ : Load at Appeared Residual Slip of  $0.075\text{mm}$

$Q_c$ : Design Value by The Spec. for Highway Bridge in Japan (1980)